

マグノン検出器を用いた アクシオン探索実験

池田 智法^A

身内賢太郎^A、伊藤飛鳥^A、早田次郎^A、鹿野豊^{B,C}
神戸大学^A、慶応大量子^B、チャップマン大量子科学研^C

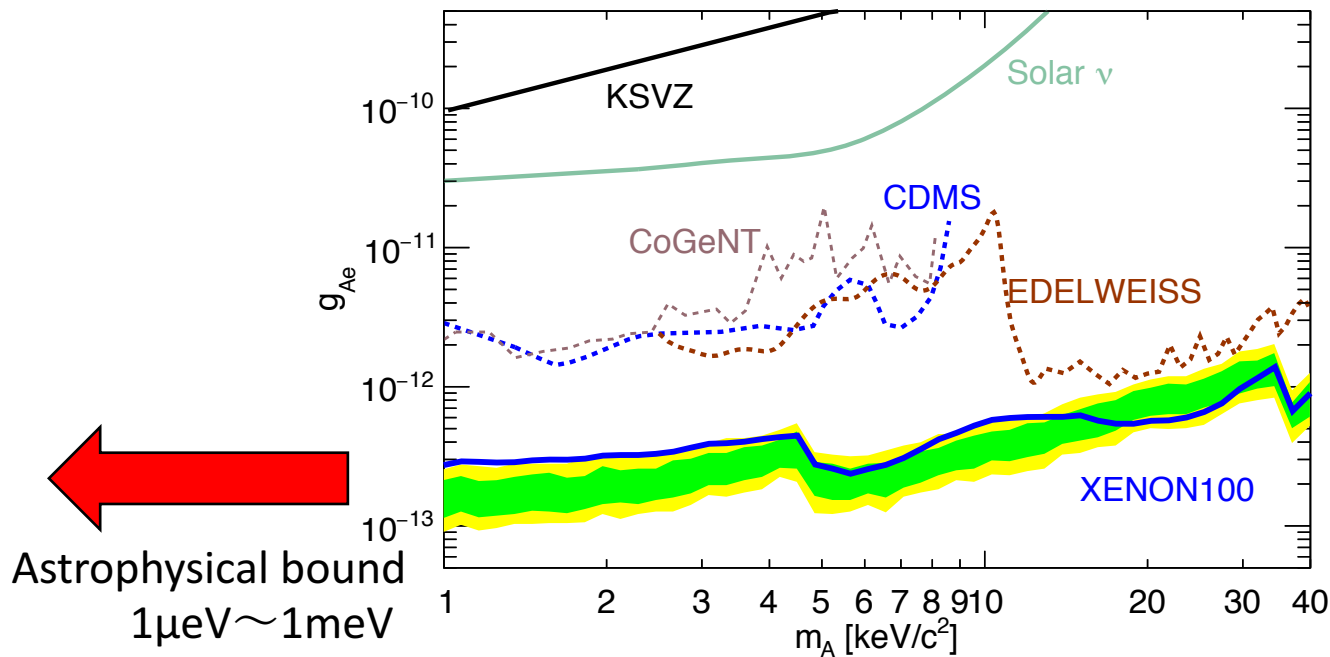
1. モチベーション
2. 観測原理
3. アクシオン探索実験結果
4. まとめ

モチベーション

✓ 東京大学先端研究所センターでの研究室見学にて

→量子コンピュータ開発技術を暗黒物質探索実験に応用できないか

✓ DMハローアクシオンの g_{ae} (axion-electron coupling)直接観測



E. Aprile *et al.*
Phys. Rev. D 90, 062009

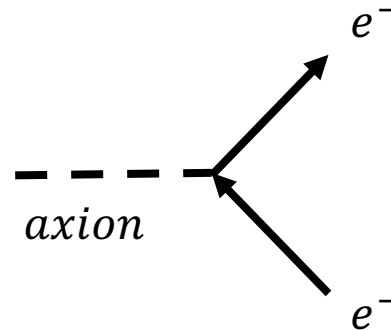
➤ 超低質量側を量子コンピュータ開発技術を応用して探索

観測原理

アクシオンと電子の相互作用

- ✓ フェルミオンとのカップリング項

$$\mathcal{L} = g_{aff} \partial_\mu a(x) \bar{\psi}(x) \gamma^\mu \gamma_5 \psi(x)$$



- ✓ 非相対論的などところでのアクシオンと電子の相互作用項

$$-\frac{g_{aee}\hbar}{2m} \hat{\sigma} \cdot \nabla a = -2 \left(\frac{e\hbar}{2m} \right) \left(\frac{1}{2} \hat{\sigma} \right) \cdot \left(\frac{g_{aee}}{e} \nabla a \right)$$

μ_B : ボーア磁子

B_a : アクシオン磁場

S : 電子スピン

- ✓ アクシオン磁場の強さ

$$B_a = 3.3 \times 10^{-8} \times g_{aee} \times \left(\frac{\rho}{0.45 \text{ GeV/cm}^3} \right)^{1/2} \left(\frac{v_a}{220 \text{ km/s}} \right) [\text{T}]$$

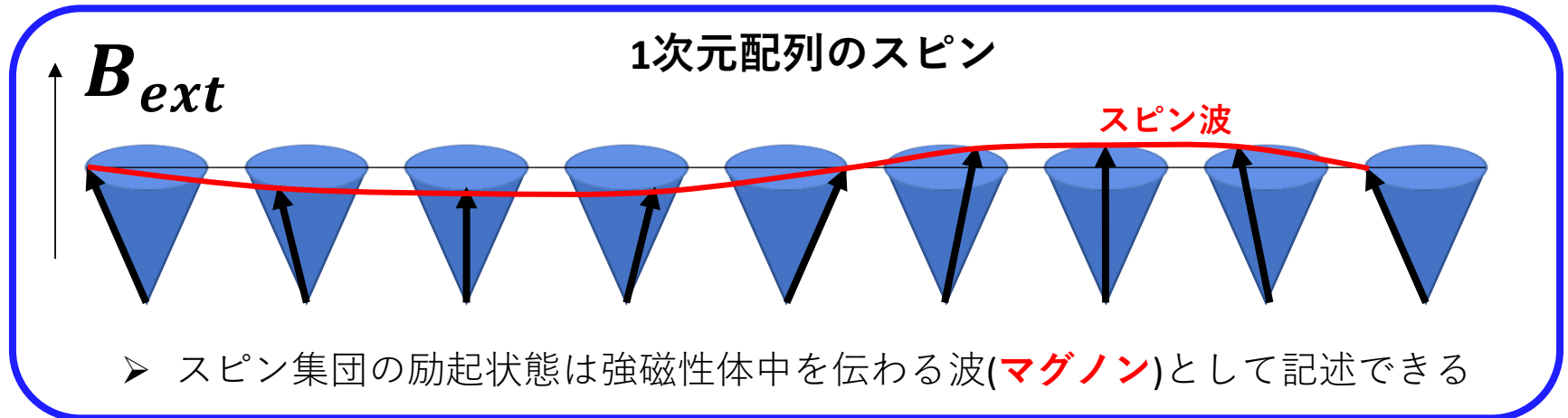
✓ 1電子あたりの相互作用は非常に小さい

電子のスピン集団

- ✓ 強磁性体中のスピン同士の相互作用

$$\hat{\mathcal{H}} = -g\mu_B B_z \sum_i \hat{S}_i^z - 2J \sum_{\langle i,j \rangle} \hat{\mathbf{S}}_i \cdot \hat{\mathbf{S}}_j,$$

隣り合うスピンの相互作用
隣のスピンの向きをわずかに傾ける



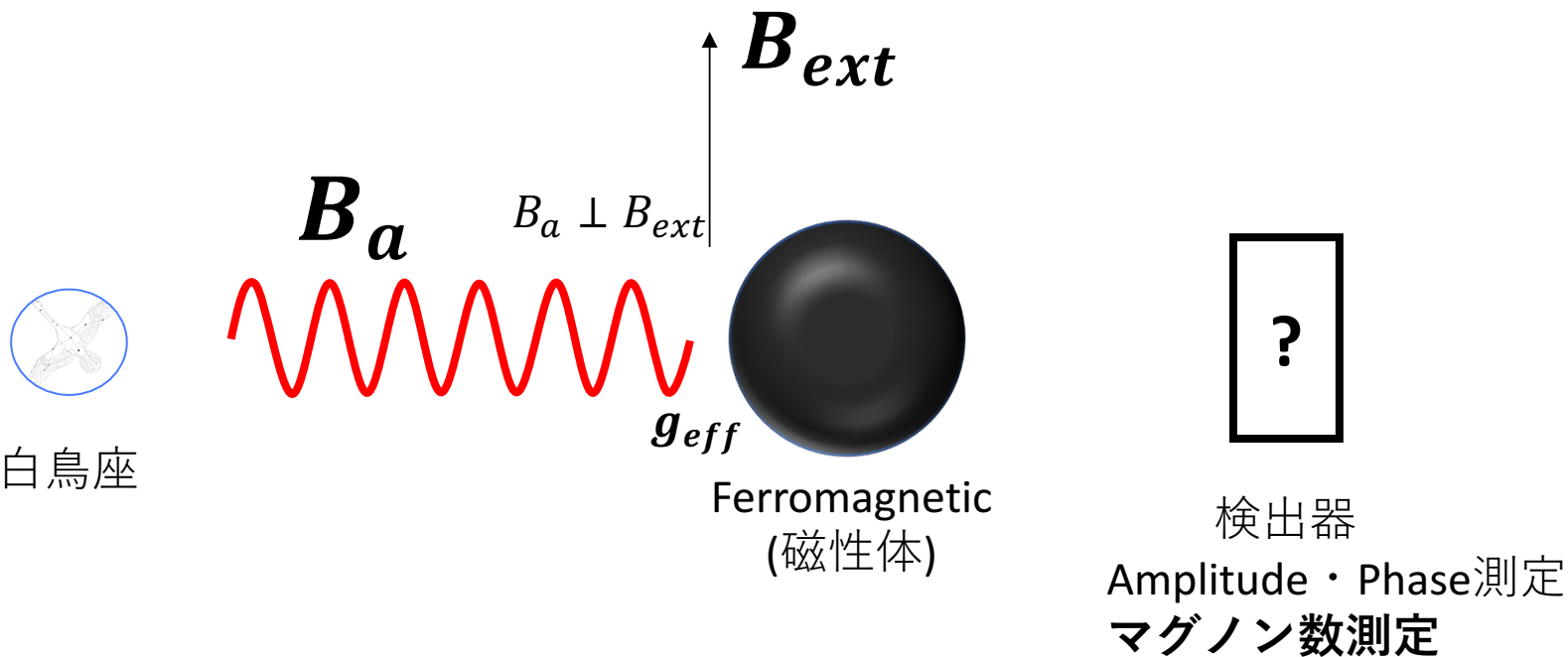
- ✓ マグノンとアクシオンの相互作用項

$$\mathcal{H}_{int} = \hbar g_{eff} (\hat{a}^\dagger \hat{c} + \hat{a} \hat{c}^\dagger),$$

$$g_{eff} \equiv \frac{g\mu_B B_a}{2\hbar} \sqrt{2sN},$$

\sqrt{N} 倍大きい

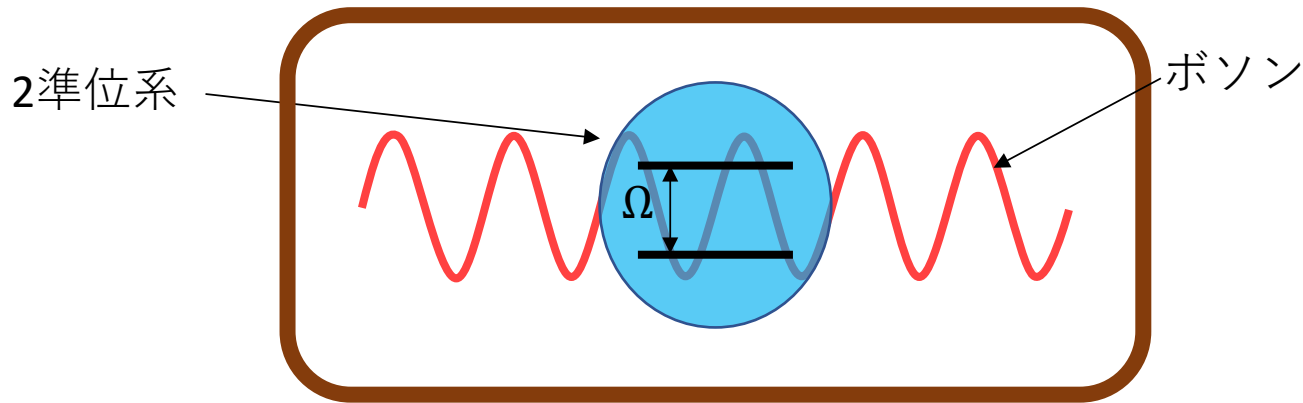
アキュシオンの検出方法



量子限界ノイズを超えた測定

→量子非破壊測定を使ったマグノンカウンティング

量子非破壊測定 (Quantum non demolition measurement)



✓ 系のハミルトニアン

ac-Stark shift

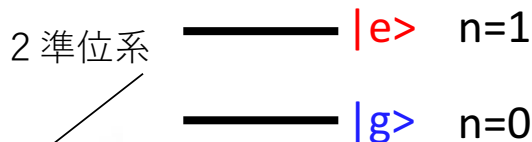
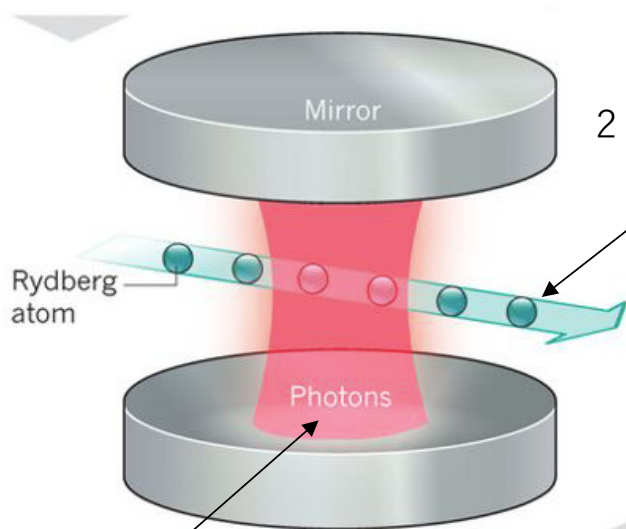
Lamb shift

$$H = \hbar\omega_r \left(a^\dagger a + \frac{1}{2} \right) + \frac{\hbar}{2} \left(\Omega + \frac{2g^2}{\Delta} a^\dagger a + \frac{g^2}{\Delta} \right) \sigma^z, \text{ with } \Delta = \omega_r - \Omega$$

2準位系の遷移周波数がボソン数に依存

➤ 2準位系の遷移周波数を測定することでボソンの状態を変えずにボソン数を決定できる (QND measurement)

リドベルグ原子を使った 光子数の量子非破壊測定



S.Gleyzes et al, Nature, 446, 297(2007)

ボソン数 n

<https://www.nobelprize.org/prizes/physics/2012/summary/>

The Nobel Prize in Physics 2012

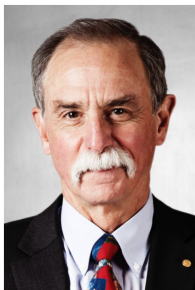


© The Nobel Foundation. Photo: U. Montan

Serge Haroche

Prize share: 1/2

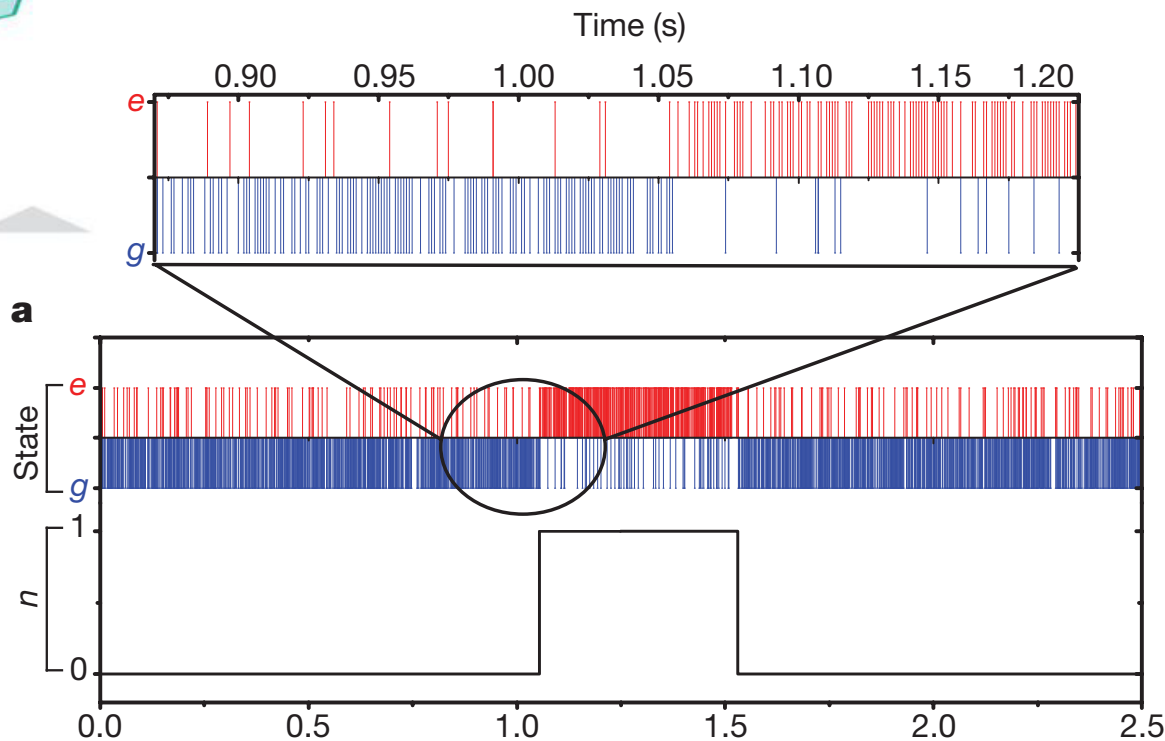
2012/11/11



© The Nobel Foundation. Photo: U. Montan

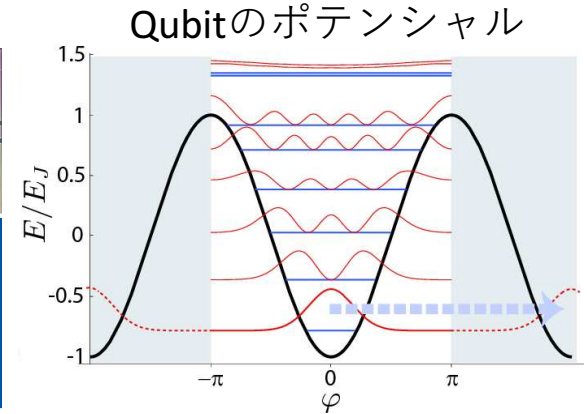
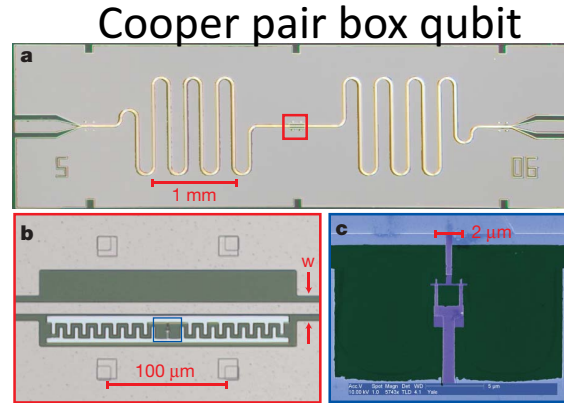
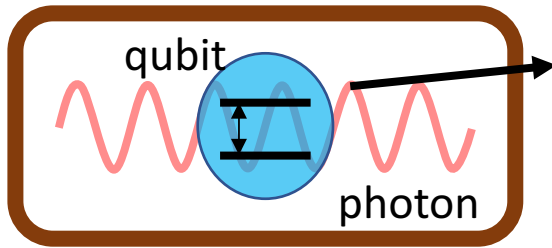
David J. Wineland

Prize share: 1/2

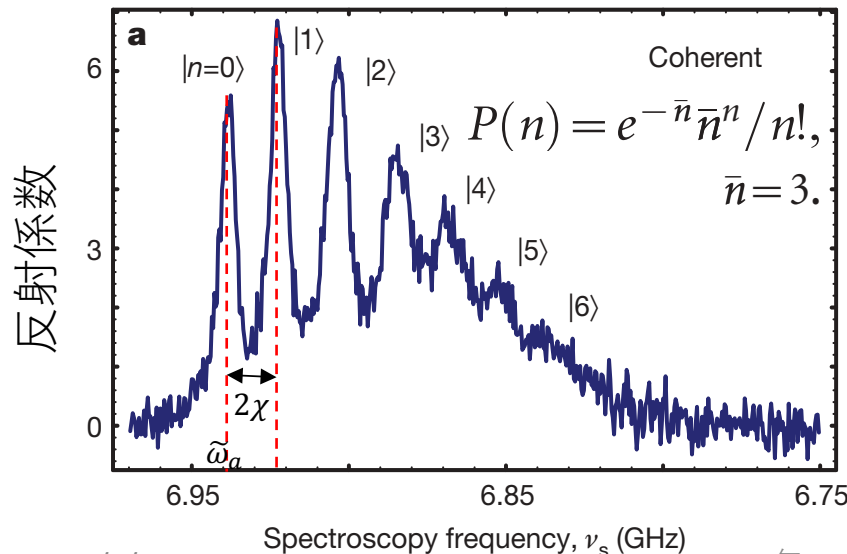


人工原子(Qubit)を使った光子数測定

✓ リドベルグ原子から人工原子(Qubit)へ D.I.Schuster, et.al., Nature 445 515(2007)



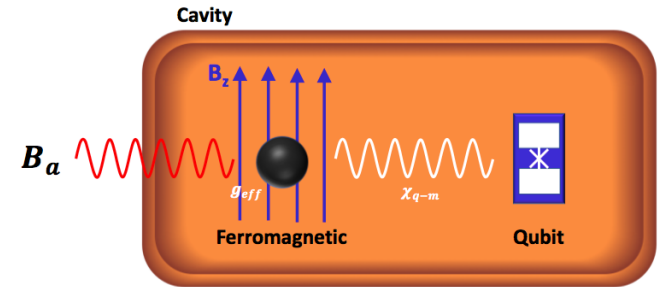
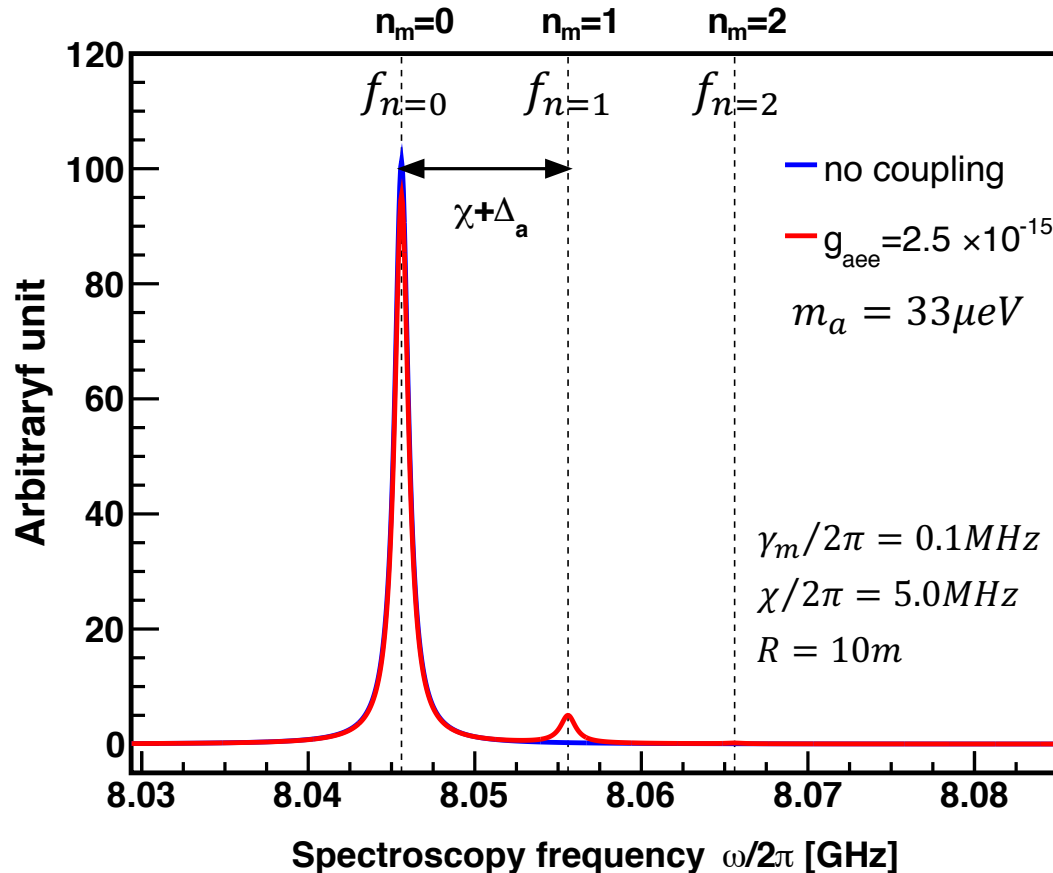
J.Koch, et al, Phys.Rev.A76,042319(2007)



$$H_{\text{eff}} = \hbar\omega_r \hat{a}^\dagger \hat{a} + \frac{\hbar}{2} (\tilde{\omega}_a + 2\chi \hat{a}^\dagger \hat{a}) \hat{\sigma}_z$$

➤ Qubitの遷移周波数から光子数を決定できている

アクシオン-マグノン結合の期待されるスペクトル



✓ アクシオンとマグノンの結合力

$$g_{eff} \equiv \frac{g\mu_B B_a}{2\hbar} \sqrt{2sN},$$

✓ 平均マグノン数

$$\bar{n}_{\pm}^m = \frac{g_{eff}^2}{\gamma_m^2/4 + (\Delta_a \pm \chi)^2},$$

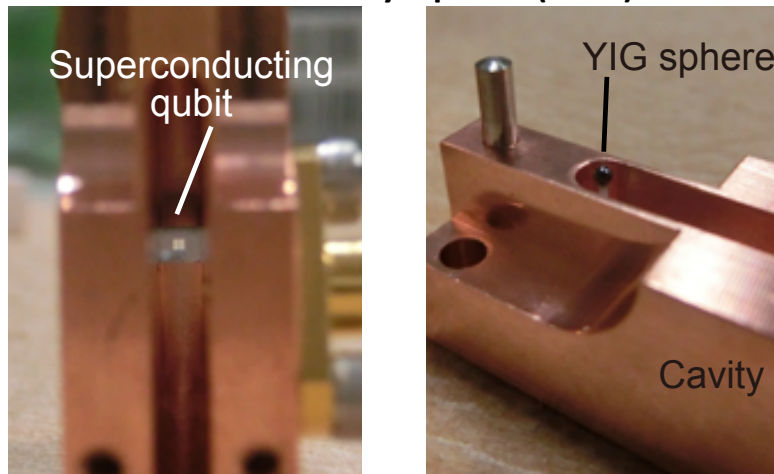
➤ アクシオンとマグノンが結合していれば、Qubitの遷移周波数 $f_{n=1}$ にピークがたつ

実験結果

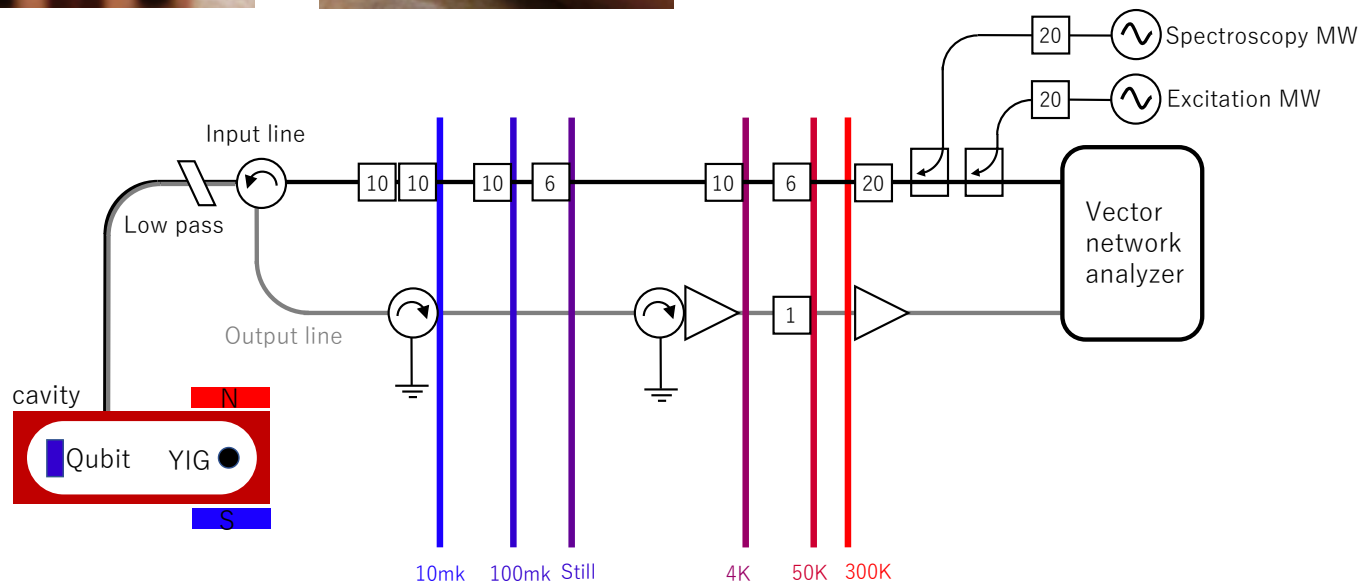
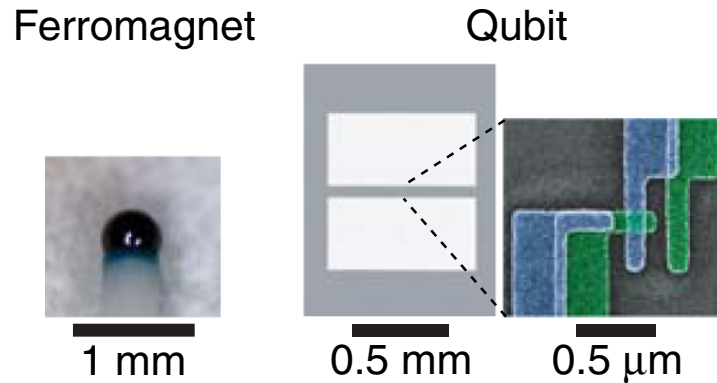
セットアップ

✓ 東大先端研にてセットアップ

C. R. Physique 17 (2016) 729–739

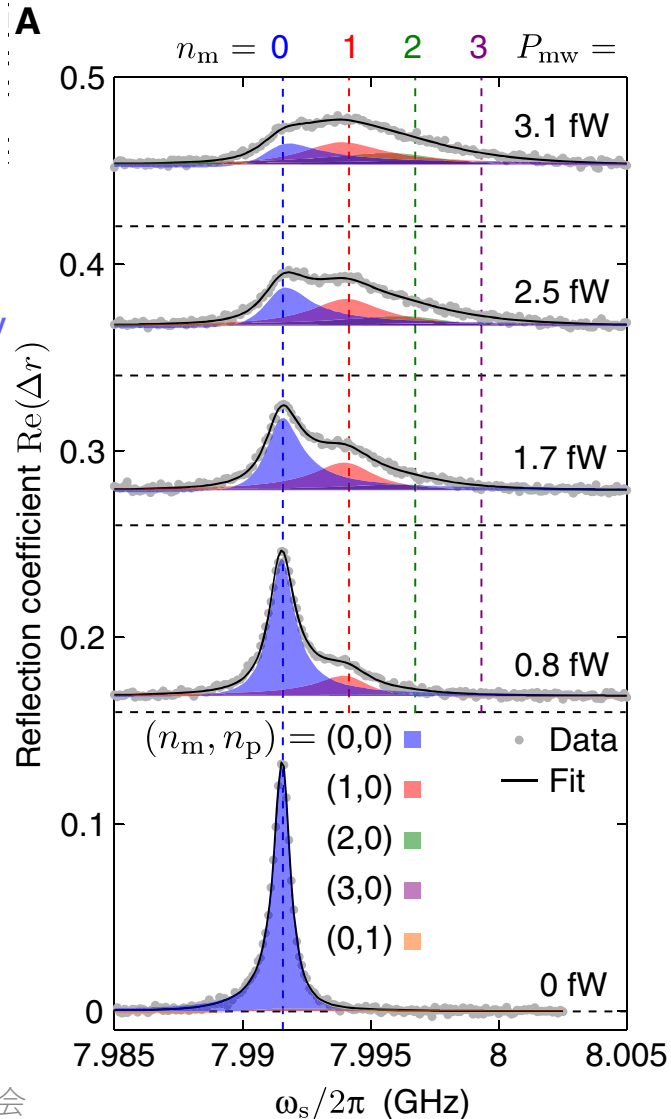
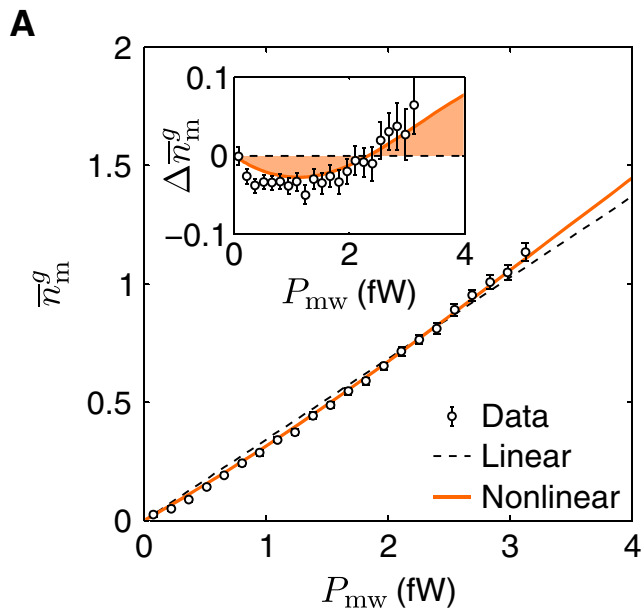
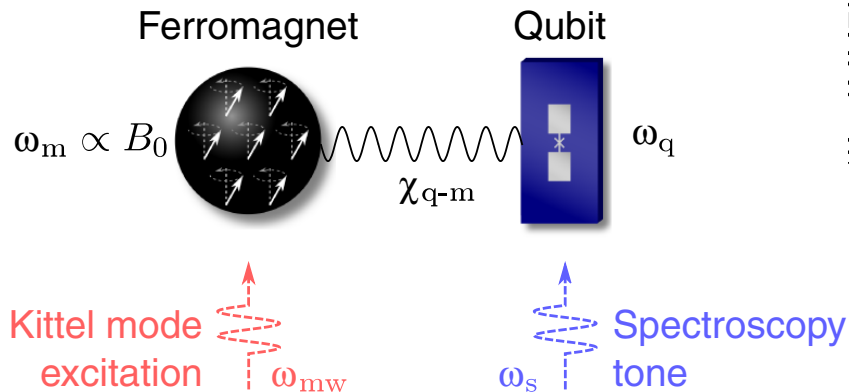


D.Lachance-Quirion, et.al., Sci.Adv. 2017;3:e1603150



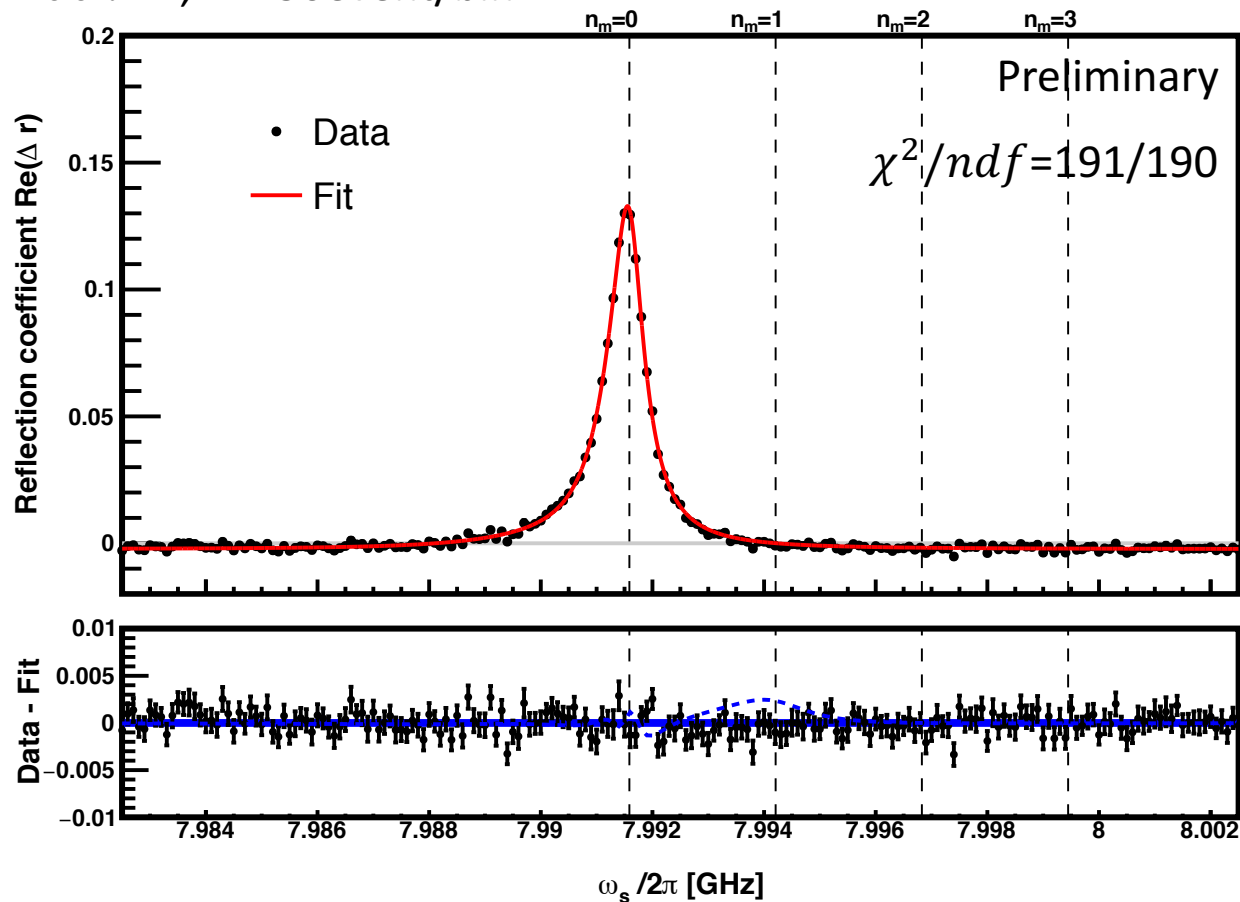
キャリブレーションRUN

D.Lachance-Quirion, et.al., Sci.Adv. 2017;3:e1603150



DMRUN

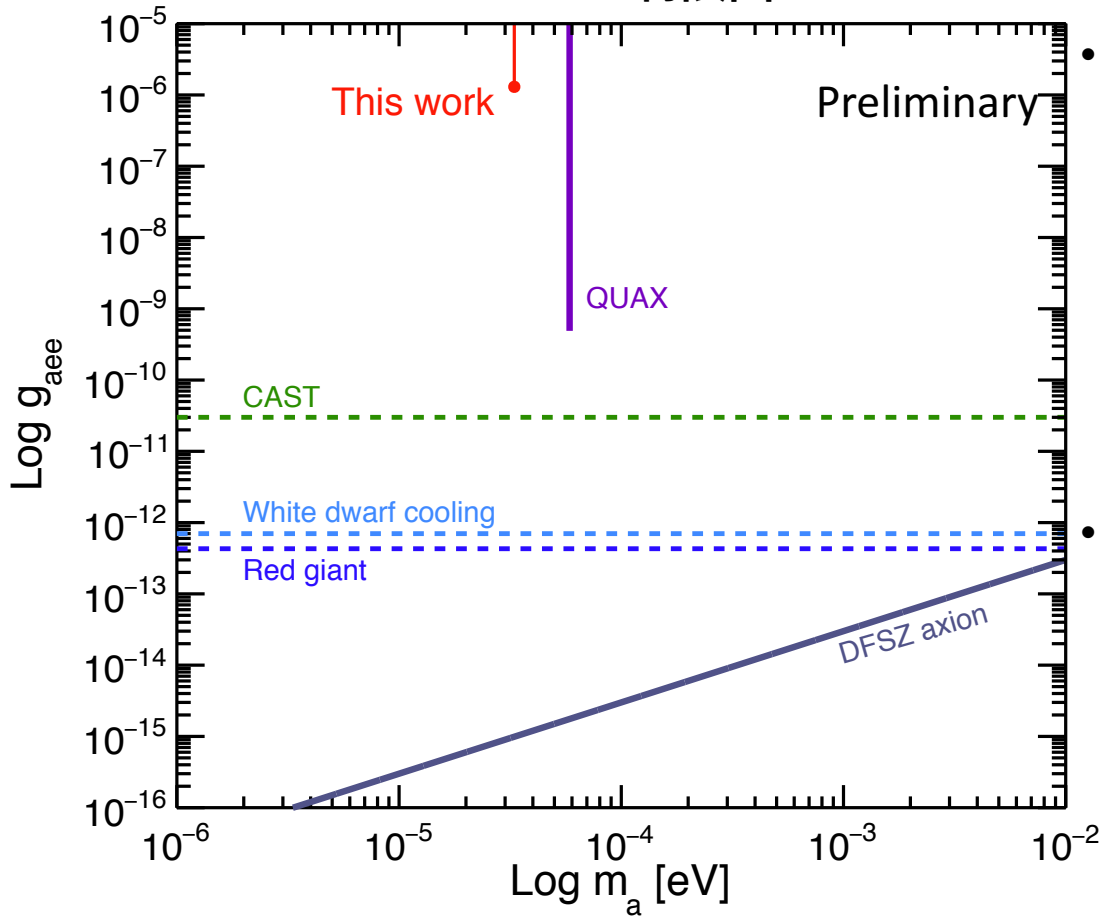
- 2015年8月に取得された4時間分のデータ
 $\Delta f = 100\text{kHz}$, 50event/bin



➤ 統計的に有意な差は見られなかった

制限図

95% C.L.の制限図



- アクシオン質量 $33\mu\text{eV}$ について、95%信頼度の上限を与えた

$$B_a < 4.1 \times 10^{-14} \text{ [T].}$$

$$g_{aee} < 1.3 \times 10^{-6}$$

- 感度を制限している要因

✓ 強磁性体のQ値(約1000)

$$\bar{n}_{\pm}^m = \frac{g_{eff}^2}{\gamma_m^2/4 + (\Delta_a \pm \chi)^2},$$

現状CavityのQ値より3桁悪い

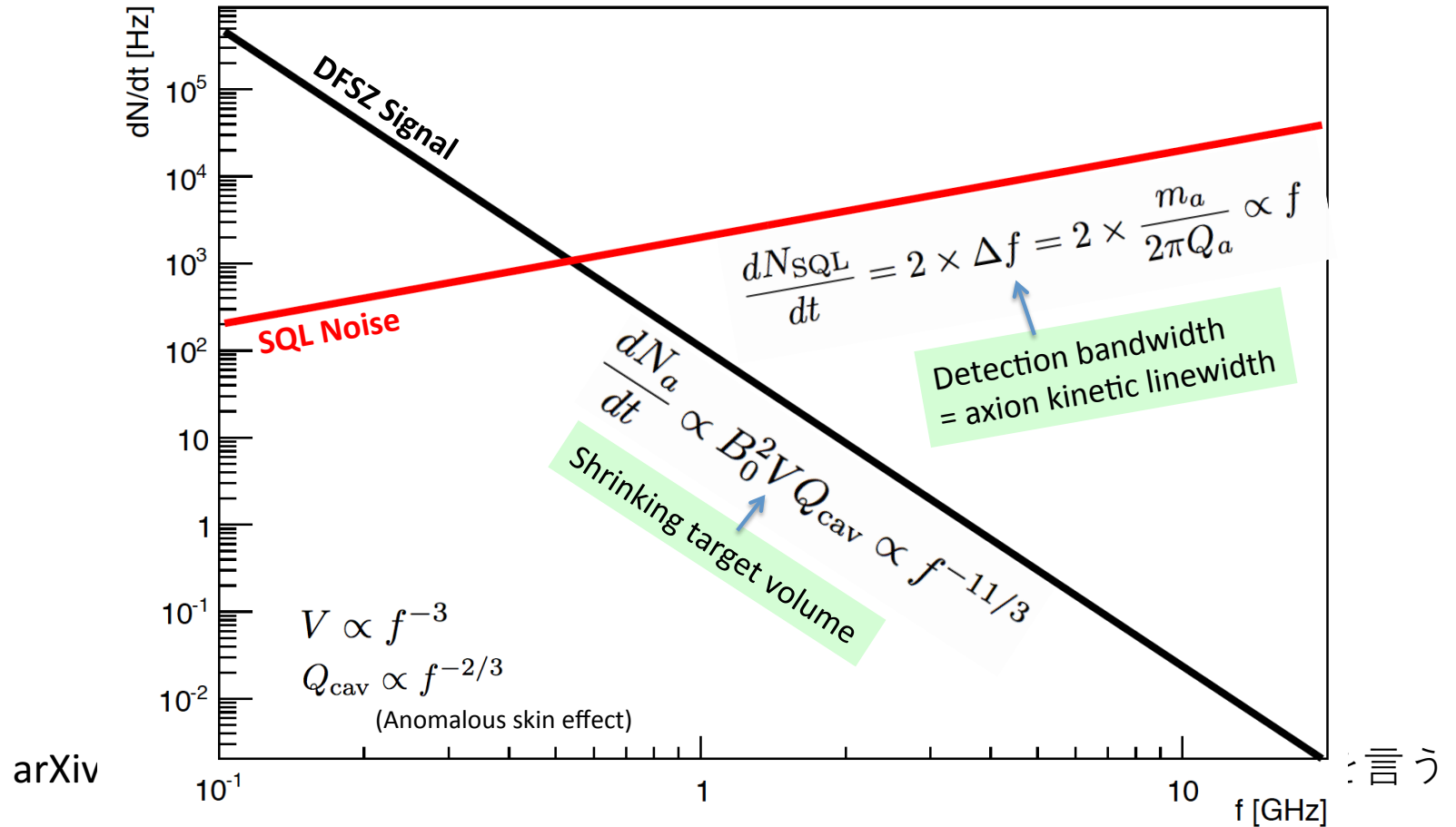
まとめ

- マグノン数検出器を用いて暗黒物質アクシオンの探索を行った
- アクシオン質量 $33\mu\text{eV}$ について、95%*C.L.*の制限値 $g_{aee} < 1.3 \times 10^{-6}$ を与えた
- 現状感度を制限している要因はマグノンのQ値であり、量子限界を超えた感度を達成するには3桁の向上が必要

量子限界

Aaron S. Chou FNAL
 Northwestern University HEP Seminar
 October 3, 2016
 のスライドから

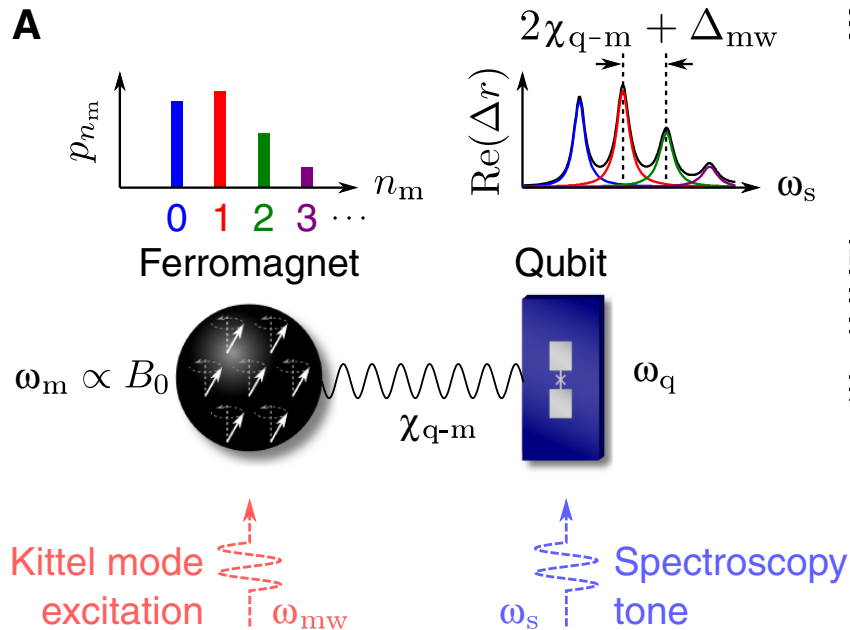
DFSZ axion signal photon rate for single volume= λ^3 cavity
 vs. **Standard Quantum Limit** readout noise



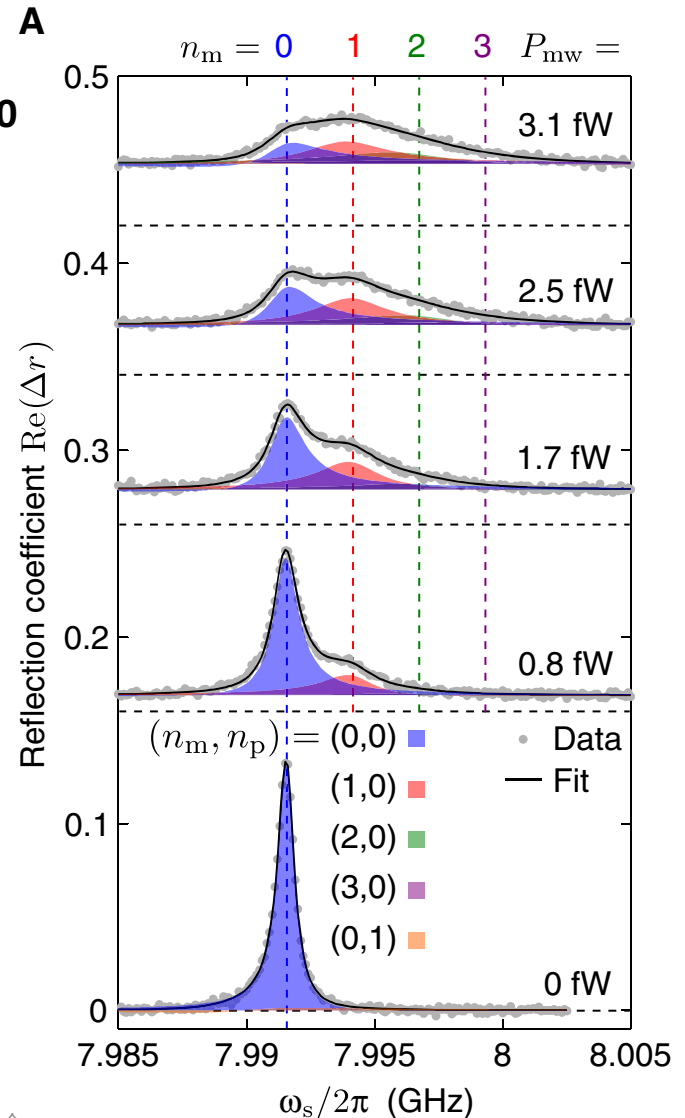
マグノン量子数測定

✓ マグノン数の測定へ

D.Lachance-Quirion, et.al., Sci.Adv. 2017;3:e1603150



➤ 同様にマグノン数の測定も可能



$$S(\omega) = \frac{1}{\pi} \sum_{j=0}^{\infty} \frac{1}{j!} \operatorname{Re} \left[\frac{(-A)^j e^A}{\Gamma_j/2 - i(\omega - \omega_j)} \right]$$

$$\Gamma_j = \gamma_q + (j + D_s)\kappa,$$

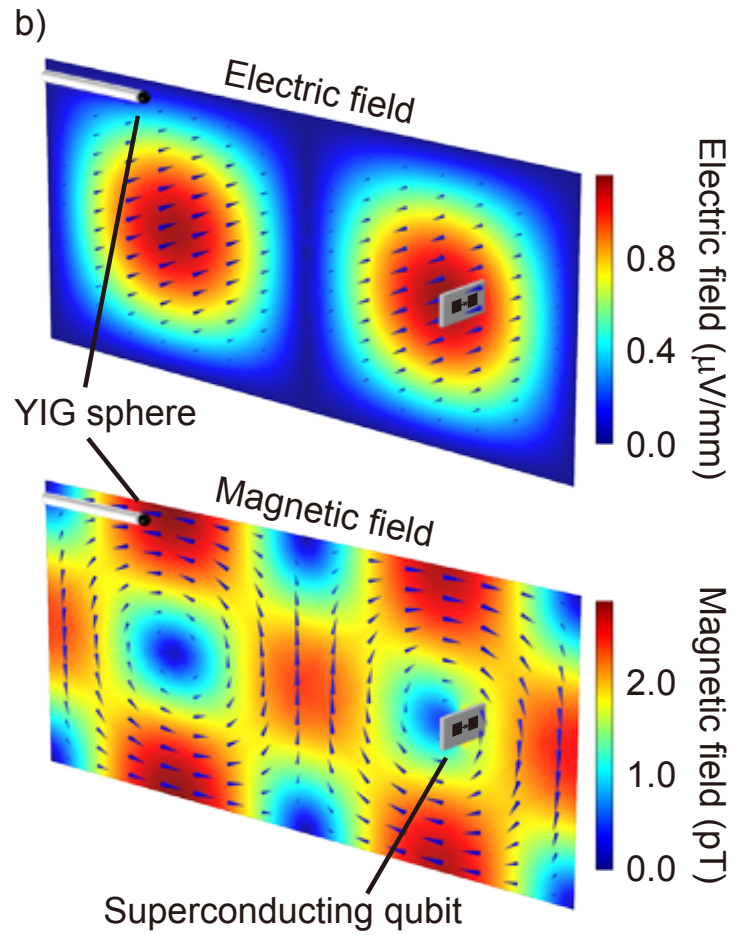
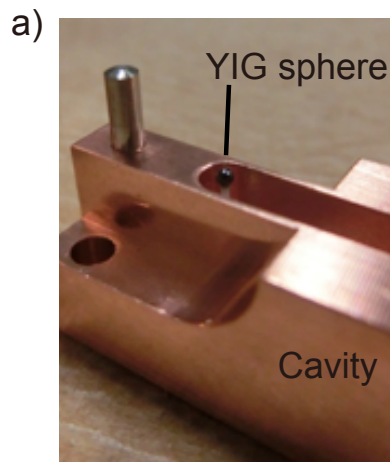
$$\omega_j = \tilde{\omega}_a + B + j(\chi + \Delta_a),$$

$$A = D_s \frac{\gamma_m/2 - i(\chi + \Delta_a)}{\gamma_m/2 + i(\chi + \Delta_a)},$$

$$B = \chi(\bar{n}_+ + \bar{n}_- - D_s),$$

$$D_s = \frac{2(\bar{n}_+ + \bar{n}_-)\chi^2}{\gamma_m^2/4 + \chi^2 + \Delta_a^2},$$

$$\bar{n}_{\pm}^m = \frac{g_{eff}^2}{\gamma_m^2/4 + (\Delta_a \pm \chi)^2},$$



展望